Vol. 29 No. 6 Nov. 2008

# 蛇床子挥发性成分的 GC/MS 分析

### 赵富春1,廖双泉1,梁志群1,智 霞1,曾 志2

(1. 海南大学材料与化工学院,海南 儋州 571737;2. 华南师范大学化学与环境学院,广东 广州 510631)

摘要:用超临界二氧化碳和水蒸气蒸馏法提取蛇床子挥发性化学成分,采用毛细管气相色谱-质谱联用技术对2种提取方法所提取的挥发性成分进行分析鉴定。共鉴定出48个挥发性化合物,从水蒸气蒸馏提取物中鉴定出31个化学成分,从超临界二氧化碳提取物中鉴定出21个化学成分,超临界二氧化碳提取方法对蛇床子挥发性成分的提取具有较高的选择性。从蛇床子中检测到蛇床子素、欧前胡素、异虎尔草素、佛手内酯、花椒毒素和花椒毒酚6个香豆素类化合物,并应用质谱学规律对蛇床子中的有效成分蛇床子素的结构进行鉴定和讨论。

关键词:蛇床子;超临界二氧化碳提取;挥发性成分;蛇床子素;香豆素

中图分类号: O 657.63 文献标识码: A 文章编号: 1004-2997(2008)06-361-06

## The Volatile Constitutes of Cnidium Monnieri by GC/MS

ZHAO Fu-chun<sup>1</sup>, LIAO Shuang-quan<sup>1</sup>, LIANG Zhi-qun<sup>1</sup>, ZHI Xia<sup>1</sup>, ZENG Zhi<sup>2</sup>
(1. College of Matiral Science and Chemical Engineering, Hainan University, Danzhou 571737, China;
2. School of Chemistry and Environment, South China Normal University, Guangzhou 510631, China)

Abstract: The volatile constitutes of Cnidium monnieri were extracted by hydro-distillation and supercritical CO<sub>2</sub> extraction. 48 compounds are determined in these extracts, and are identified by capillary gas chromatography combined with mass spectrometric detection. 31 components are identified by hydro-distillation, while 21 components are identified by supercritical CO<sub>2</sub> extraction. 6 coumarins including osthole, imperatorin, isopimpinellin, bergapten, xanthotoxin and xanthotoxol are detected in Cnidium monnieri (L.) Cuss. The results show that supercritical CO<sub>2</sub> extraction for the volatiles from Cnidium monnieri (L.) Cuss. is more selective. The structure identification of osthole was discussed by mass spectrometry.

**Key words:** Cnidium monnieri (L.) Cuss; supercritical CO<sub>2</sub> extraction; volatile constituents; osthole; Coumarins

蛇床子系伞形科植物蛇床(Cnidium monnieri(L.) Cuss.) 的干燥成熟果实,它具有温肾 壮阳、燥湿祛风之功效。在蛇床子中已发现的有 效成分为香豆素类物质,如蛇床子素等,此外还 有氨基酸、酸萜、糖苷类物质[1-2]。 蛇床子具有广 泛的药理活性,内外兼用,主要用干治疗阳痿宫 冷、寒湿带下、湿痹腰痛等疾病,外治外阴湿疹、 妇人阴痒等。经现代药理实验研究发现,蛇床子 挥发油能有效地抗拮引起皮肤瘙痒的介质—— 组胺和肥大细胞脱颗粒作用[3]。蛇床子中香豆 素成分在抗心律失常、抗骨质疏松、抗艾滋病、抗 真菌及抗诱变等方面均有一定的作用,其中蛇床 子素是含量最多、活性最强的单体。 Feng 等[4] 对麻醉狗的心电图和血液动力学研究发现,蛇床 子素能扩张血管、降低动脉压、调节性激素水平。 蛇床子中多种成分能有效地抵抗黄曲霉素 B1 诱发的移码突变,阻止环磷酰胺诱发的小鼠染色 体损伤[5]。蛇床子还具有钙拮抗作用,对神经系 统、肠道、阴茎海绵体平滑肌均有作用:此外,还 具有调节内分泌、抗肿瘤、抗病毒、抗肝损伤、抗 氧化作用[6]。

植物药挥发性成分传统上采用水蒸气蒸馏 法提取,此法提取物可能受到化学试剂的影响, 热敏性化合物易遭到破坏,提取物的质量相应会 削弱。另外,使用有机溶剂从植物药中提取挥发 性物质的方法在挥发溶剂时会造成某些挥发性 有效成分的损失,因而很难得到"无溶剂化"的提 取物[7],这方面的不足可使用超临界流体提取进 行弥补。超临界二氧化碳提取相对水蒸气蒸馏 能够实现低温操作,避免不稳定化合物的降解, 无溶剂残留,这对保证挥发性物质的质量有积极 的意义。近年来,超临界流体提取技术由于其操 作条,可控性,提取的高效性、高选择性和产品 "无污染",对环境绿色环保等特点受到日益广泛 的关注。本实验试图对采用超临界 CO2 和水蒸 气蒸馏提取的蛇床子挥发性化学成分进行比较 研究,以期对蛇床子的质量控制及制剂开发提供 有价值的参考。

### 1 实验

#### 1.1 药材与仪器

蛇床子购于广州清平中药市场,经华南师范 大学化学与环境学院曾志教授鉴定为植物蛇床 (*Cnidium monnieri* (L.) Cuss.) 的干燥果实; HA-121-50-01 型超临界提取装置由两个解析釜进行二级分离;磨口水蒸气蒸馏装置(自制);HP 6890 型气相色谱仪:美国惠普公司产品;Platform Ⅱ GC/MS 联用仪:英国 Micromass 公司产品。

### 1.2 超临界二氧化碳提取

取 500 g 蛇床子药材投入提取釜中,对提取釜、解析釜分别进行加热或冷却,当提取釜温度达到  $32 \degree C$  时,解析釜 I 的温度为  $52 \degree C$ 。当解析釜 I 的温度达到  $37 \degree C$  时,打开  $CO_2$  气瓶;当提取釜压力达 25 MPa,解析釜 I 的压力达到 8.62 MPa,解析釜 I 的压力达到 8.62 MPa,解析釜 I 的压力达到 8.62 MPa,解析釜 I 的压力达到 8.62 MPa,解析 I 的压力达到 I 的压力过力,I 的压力过力,I 的压力过力,I 的压力过力,I 的压力过力,I 的压力过力,I 的压力过力,I 的压力过力,I 的压力过力,I 的压力过力,I

#### 1.3 水蒸气蒸馏提取

称取 50 g 蛇床子药材,用磨口水蒸气蒸馏 装置提取 3 h,提取物用无水硫酸钠干燥,得到 淡黄色油状物,收率为 0.74 % 。

- 1.4 GC 和 GC/MS 分析
- 1.4.1 色谱条件 色谱柱:DB1 毛细管熔融石 英柱  $(30 \text{ m} \times 0.25 \text{ mm} \times 0.25 \text{ } \mu\text{m})$ ;升温程序:  $60 \text{ } \mathbb{C}$  保持 5 min,以  $2 \text{ } \mathbb{C} \cdot \text{min}^{-1}$  升温至  $240 \text{ } \mathbb{C}$ ,再以  $23 \text{ } \mathbb{C} \cdot \text{min}^{-1}$  升温至  $290 \text{ } \mathbb{C}$ ,保持至完成分析;进样温度: $280 \text{ } \mathbb{C}$ ;分流比:20:1;载气 (He)流速: $1 \text{ mL} \cdot \text{min}^{-1}$ 。
- 1.4.2 质谱条件 电离方式: EI; 电离能: 70 eV; 离子源温度:  $180 \, \mathbb{C}$ ; 离子流:  $200 \, \mu A$ ; 质量扫描范围:  $m/z \, 30 \sim 800$ ; 质谱数据库: NIST Mass Data Base (1994)。

### 2 结果与讨论

2.1 水蒸气蒸馏和超临界二氧化碳提取结果的 比较

对水蒸气蒸馏和超临界二氧化碳提取的蛇床子挥发性成分进行比较,发现两种提取方法所提取蛇床子的挥发性成分有明显差异。蛇床子的水蒸气和超临界  $CO_2$  提取物的化学组成及相对含量列于表 1。从表 1 可以看出,水蒸气蒸馏提取挥发性成分有 31 个,而超临界二氧化碳提取挥发性成分仅有 21 个。水蒸气蒸馏提取的主要化学成分为冰片乙酸酯、D-柠檬烯、 $\alpha$ -蒎烯、三环[4.4.0.0(2,8)]癸-4-醇、三环[4.3.1.0(3,8)]癸-10-醇、蒈烯-3,5-异丙烯基-2-甲基-环

己-2-烯基丙酸酯、2,2-二甲基-5-异丙烯基-2-甲 基-环己-2-烯基丙酸酯、冰片、石竹烯、3,7-二甲 基-1,6-辛二烯-3-醇,而超临界二氧化碳提取的 主要成分为(Z,Z)-9,12-十八碳二烯酸、蛇床子 素、E-9-十四烯酸、正十六酸、花椒毒酚、花椒毒 素、欧前胡素、冰片乙酸酯、异虎耳草素、(Z)-3-十七烯-5-炔。结果表明,超临界二氧化碳提取 的挥发性化合物中香豆素类成分含量较高,提取 和检测到的挥发性香豆素类化合物包括蛇床子 素、花椒毒酚、花椒毒素、佛手内酯、欧前胡素、异 虎耳草素,占提取挥发性成分相对含量的 34.82%:而水蒸气蒸馏提取的挥发性香豆素类 成分仅检测到蛇床子素,其含量占提取物总量的 0.40%。可见,超临界二氧化碳提取法比水蒸气 蒸馏法具有更大的选择性。萜类及其含氧衍生 物,如 $\alpha$ -蒎烯、蒈烯、1,2,3,5,6,8a-六氢-4,7-二 甲基-1-异丙基-萘、7,11-二甲基-3-亚甲基-1,6, 10-十二烷三烯、三环[4.4.0.0(2,8)] 癸-4-醇、

三环 [4.3.1.0(3,8)] 癸-10-醇等仅能在水蒸气蒸馏提取物中检测到。而长链不饱和有机酸类物质,如(Z,Z)-9,12-十八碳二烯酸和 E-9-十四碳烯酸;饱和烷烃,如三十五烷和四十四烷;香豆素类物质,如花椒毒酚、欧前胡素、异虎耳草素,仅能在二氧化碳超临界提取中得到,其结构示于图 1。

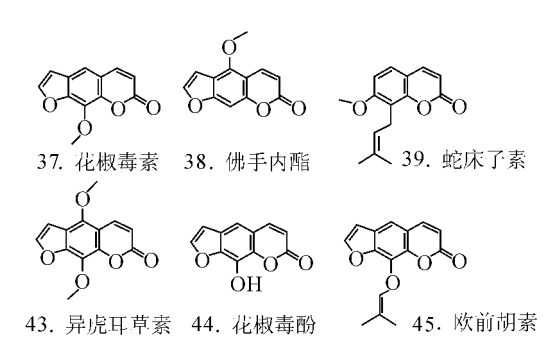


图 1 蛇床子中的香豆素类化合物
The coumarin compounds of Cnidium monnieri

表 1 蛇床子水蒸气蒸馏和超临界 CO<sub>2</sub> 提取物的化学组成及相对含量
Table 1 The chemical composition and relative contents of extractions

by hydro-distillation and supercritical CO2

相对含量/% 保留时间 相对分 序号 相似度/% 化合物 子质量 /min HDSFE-CO<sub>2</sub> α-蒎烯 α-Pinene 1 6.73 136 13.95 85 2 7.38 3-**蒈烯** 3-Carene 136 4.62 83 6,6-二甲基-2-双环[3.1.1] 庚烷 3 8.75 81 136 0.38 6, 6-Dimethyl-2-bicyclo [3.1.1] heptane 10.72 D-柠檬烯 D-Limonene 85 136 19.20 0.191-甲基-4-异丙基-环己烯 5 10.89 84 136 0.50 1-Methyl-4-(1-methylethyl)-cyclohexene 1-甲基-4-异丙基-2-环己烯-1-醇 6 16.76 87 152 0.28 1-Methyl-4-(1-methylethenyl)-2-cyclohexen-1-ol 2, 6-二甲基-2, 4, 6-辛三烯 2,6-Dimethyl-2, 4, 6-octatriene 7 17.41 77 136 0.21 2-异丙烯基-3-亚甲基-环己醇 8 17.69 74 152 0.16 2-Isopropenyl-3-methylene-cyclohexanol 1,7,7-三甲基-双环[2.2.1]庚-2-酮 9 18, 21 91 152 0.37 1,7,7-Trimethyl-bicyclo [2. 2. 1] heptan-2-one 10 19.89 冰片 Borneol 84 154 0.89 4-甲基-1-异丙基-3-环己烯-1-醇 11 20.53 72 154 0.36 4-Methyl-1-(1-methylethyl)-3-cyclohexen-1-ol 12 26.56 冰片乙酸酯 Bornyl acetate 93 196 29.51 1.00 2-甲基-5-异丙基-2-环己烯基乙酸酯 13 30.57 85 194 0.41 2-Methyl-5-isopropenyl-2-enyl ester acetic acid

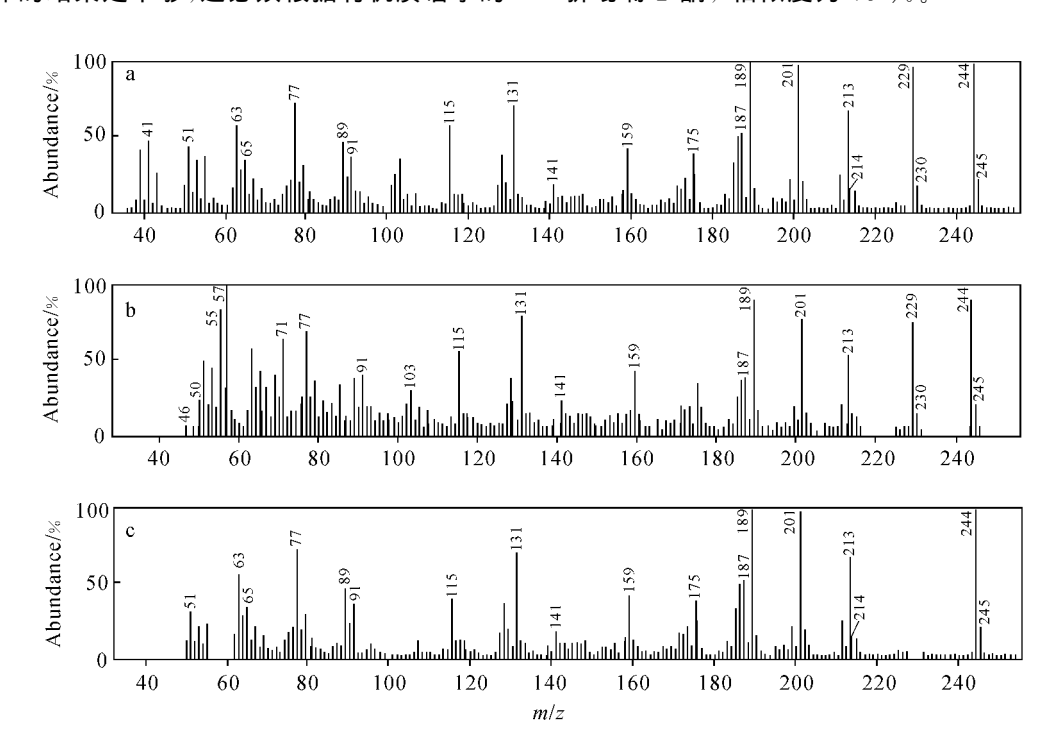
### 续表

| 序号 | 保留时间<br>/min | 化合物   | 相似度/% | 相对分 | 相对含量/ % |                     |
|----|--------------|---|-------|-----|---------|---------------------|
|    |              |   |       | 子质量 | HD      | SFE-CO <sub>2</sub> |
| 14 | 32.30        | 橙花醇苯甲酸酯 Neryl phenylacetate   | 72    | 272 | 0.18    | _                   |
| 15 | 34.63        | 石竹烯 Caryophyllene   | 86    | 204 | 0.85    | 0.12                |
| 16 | 38.18        | 7,11-二甲基-3-亚甲基-1,6,10-十二烷三烯<br>7,11-Dimethyl-3-methylene-1,6,10-dodecatriene                                  | 77    | 204 | 0.21    | _                   |
| 17 | 38.68        | 4(14),11- <b>桉叶二烯</b> 4(14),11-Eudesma diene  | 89    | 204 | _       | 0.33                |
| 18 | 39.91        | 3-甲基-2-苯乙基丁酸酯<br>3-Methyl-2-phenylethyl butanoic acid ester   | 79    | 206 | 0.16    | _                   |
| 19 | 40.13        | 3,7- <b>二甲基</b> -1,6- <b>辛二烯</b> -3-醇 3,7-Dimethyl-1,6-octadiene-3-ol   | 86    | 154 | 0.49    | _                   |
| 20 | 41.35        | α-法呢烯 α-Farnesene   | 88    | 204 | 0.19    | _                   |
| 21 | 41.51        | 3,7-二甲基-2,6-辛二烯基丁酸酯<br>3,7-Dimethyl-2,6-octadienyl butanoic acid ester  | 71    | 224 | 0.25    | _                   |
| 22 | 41.88        | 1, 2, 3, 5, 6, 8a-六氢-4,7-二甲基-1-异丙基-萘 1,2,3,5,6,8a-<br>Hexahydro-4,7-dimethyl-1-(1-methylethyl)-naphthalene    | 83    | 204 | 0.24    | _                   |
| 23 | 42.63        | 5-异丙烯基-2-甲基-环己-2-烯基丙酸酯<br>5-Isopropenyl-2-methy l-cyclohex-2-enyl propionic acid ester                        | 79    | 208 | 1.35    | _                   |
| 24 | 43.98        | 1,4-二甲基-3-环己烯基-1-乙醇<br>1,4-Dimethyl-3-cyclohexene-1-ethanol   | 74    | 154 | 0.15    | _                   |
| 25 | 44.97        | 三环[4. 4. 0. 0 (2, 8)]癸-4-醇<br>Tricyclo[4. 4. 0. 0(2,8)]decan-4-ol   | 71    | 152 | 12.64   | _                   |
| 26 | 46.75        | 1,4-二甲基-1,4-二乙基-2,5-环己二烯<br>1,4-Diethyl-1,4-dimethyl-2,5-yclohexadiene  | 79    | 164 | 0.44    | _                   |
| 27 | 48.17        | 1H-吲哚-3-位-丁酸酯 1H-Indol-3-yl butanoic acid ester   | 72    | 203 | _       | 0.16                |
| 28 | 49.02        | 6-异丙烯基-3-甲基-环己烯醇<br>6-Isopropenyl-3-methyl-cyclohex-1-enol  | 73    | 152 | 0.38    | _                   |
| 29 | 49.47        | 2-(4a-甲基-8-亚甲基-十氢萘-2-位)-丙醇-2 2-(4a-Methyl-8-meth-ylene-decahydro-naphthalene-2-yl)-propan-2-ol                | 72    | 222 | 0.25    | _                   |
| 30 | 50.09        | 三环[4.3.1.0(3,8)]癸-10-醇<br>Tricyclo[4.3.1.0(3,8)] decan-10-ol  | 74    | 152 | 9.31    | _                   |
| 31 | 50.55        | 2,2-二甲基- 5-异丙烯基-2-甲基-环己-2-烯基丙酸酯 2,2-Dimeth-<br>yl-propionic acid 5-isopropenyl-2-methyl-cyclohex-2-enyl ester | 74    | 236 | 0.98    | _                   |
| 32 | 51.77        | 苯氧基乙酸烯丙基酯 Allyl phenoxyacetate  | 79    | 192 | _       | 0.61                |
| 33 | 52.04        | 5,5-二甲基-8-亚甲基-1,2-环氧环辛-3-烯<br>5,5-Dimethyl-8-methylene-1,2-epoxycyclooct-3-ene                                | 84    | 164 | _       | 0.33                |
| 34 | 52.80        | 6-异丙烯基-3-三甲基-环己-2-烯醇<br>6-Isopropenyl-3-methyl-cyclohex-2-enol  | 72    | 152 | 0.26    | _                   |
| 35 | 59.84        | 2- <b>十五酮</b> 2-Pentacosanone   | 81    | 366 | 0.16    | _                   |
| 36 | 64.98        | 正十六酸 n-Hexadecanoic acid  | 92    | 256 | _       | 2.84                |

续表

| 序号 | 保留时间<br>/min | 化合物   | 相似度/% | 相对分 _ | 相对含量/ % |                     |
|----|--------------|---|-------|-------|---------|---------------------|
|    |              |   |       |       | HD      | SFE-CO <sub>2</sub> |
| 37 | 67.15        | 花椒毒素 Xanthotoxin  | 88    | 216   | _       | 1.16                |
| 38 | 68.17        | 佛手內酯 Bergapten  | 86    | 216   | _       | 0.50                |
| 39 | 72.39        | 蛇床子素 Osthole  | 79    | 244   | 0.40    | 29.23               |
| 40 | 73.59        | (Z,Z)-9,12- <b>十八碳二烯酸</b> (Z,Z)-9,12-Octadeca-diennoic acid | 92    | 280   | _       | 31.44               |
| 41 | 74.14        | E-9-十四烯酸 E-9-Tetradecenoic acid                             | 86    | 226   | _       | 24.29               |
| 42 | 74.44        | 十八酸 Octadecanoic acid                                       | 87    | 240   | _       | 0.50                |
| 43 | 75.90        | 异虎尔草素 Isopimpinellin  | 80    | 246   | _       | 0.88                |
| 44 | 80.57        | 花椒毒酚 Xanthotoxol  | 85    | 202   | _       | 2.01                |
| 45 | 87.05        | 欧前胡素 Imperatorin  | 65    | 270   | _       | 1.04                |
| 46 | 97.59        | 三十五烷 Pentatriacontane                                       | 92    | 492   | _       | 0.23                |
| 47 | 98.53        | (Z)-3- <b>十七烯</b> -5-炔 (Z)-3-Heptadecen-5-yne               | 84    | 234   | _       | 0.87                |
| 48 | 99.25        | 四十四烷 Tetratetetracontane                                    | 96    | 618   | _       | 0.48                |

有机质谱学在蛇床子素结构鉴定中的应用 用于研究各有机化合物的化学结构可以通 过检索相应的质谱数据库来初步确定,然而,要 准确确定各化合物的化学结构仅仅依据检索质 谱数库的结果是不够,还必须根据有机质谱学的 规律加以确证。文献[8-9]应用有机质谱学对厚 朴酚与和厚朴酚等中药活性成分结构做了准确 的鉴定,获得了化合物 39 的质谱图示于图 2,质 谱数据库检索为 7-甲氧基-5-异戊烯基-2H-1-苯 骈吡喃-2-酮,相似度为 79 %。



化合物 39 (蛇床子素) 与 7-甲氧基-5-异戊烯基-2H-1-苯骈吡喃-2-酮的质谱图比较 a. 化合物 39 的质谱; b. 蛇床子素的质谱; c. 7-甲氧基-5-异戊烯基-2H-1-苯骈吡喃-2-酮的质谱

The mass spectra comparison between compound 38 (osthole) and 7-methoxy-5-(3-methyl-2-butenyl)-2H-1-benzopyran-2-one

a. mass spectrum of compound 39; b. mass spectrum of osthole;

c. mass spectrum of 7-methoxy-5-(3-methyl-2-butenyl)-2H-1-benzopyran-2-one

在化合物 39 的质谱图中除了有分子离子峰 m/z 244 $\lceil M^+ \rceil$ 外,还有碎片离子 m/z 229 $\lceil M^+ - m/z \rceil$  $CH_3$ , 213  $M^+ - CH_3O$ , 201 229 - CO, 189  $\lceil M^{+} - C_4 H_7 \rceil$ , 187  $\lceil M^{+} - C_4 H_9 \rceil$ , 159  $\lceil 189 - 189 \rceil$  $CH_2O$ ]、131[159-CO]等,但是碎片 m/z 229 在 7-甲氧基-5-异戊烯基-2H-1-苯骈吡喃-2-酮质 谱图中未出现,说明化合物 39 不是 7-甲氧基-5-异戊烯基-2H-1-苯骈吡喃-2-酮,而是其同分异 构体。根据质谱学规律,在香豆素化合物结构

中,碎片 m/z 229  $\lceil M^+ - CH_3 \rceil$ 强度是异戊烯基 侧链与邻位基团关系的特征指示,当香豆素类化 合物结构中的异戊烯基侧链邻位没有甲氧基时, 「M+-CH3]离子一般较弱,而化合物 39 的质谱 中 m/z 229 出现且丰度为 92 %,据此推断化合 物 39 是异戊烯基与甲氧基为邻位的蛇床子素, 化合物 39 的主要碎片与文献[10-11]报道的蛇 床子素也基本一致。蛇床子可能的质谱裂解过 程示干图 3。

图 3 化合物 39 的主要碎片和裂解过程

Fig. 3 The cleavage mechanism of main fragments of compound 39

#### 结论 3

在鉴定一些化学物质的结构时,仅仅依据计 算机的质谱库检索,有时会出现差错,尤其在相 似度不高的情况下,应进一步应用有机质谱学规 律和一些文献质谱数据来进一步确证这些成分 的化学结构,才能保证结论的正确性。在蛇床子 素的结构鉴定中,具有较高丰度的质谱关键碎片 峰 m/z 229 的出现是蛇床子素质谱的典型 特征。

#### 参考文献:

- [1] WEI Y, ZHANG T, ITO Y. Preparative isolation of ostholand xanthotoxol from Common Cnidium Fruit (Chinese traditional herb) using stepwise elution byhigh-speedcounter-currentchromatography [J]. Journal of Chromatography A, 2004, 1 033: 373-377.
- [2] KITAJIMA J, ISHIKAWA T, AKOKI Y. Glucides of Cnidium monnieri fruit [J]. Phytochemistry, 2001, 58: 641-644.
- [3] 周 然,彭 涛,玛 莉,等.蛇床子挥发油止痒作 用相关机制研究[J].中国药物与临床,2003,3 (1): 9-11.
- [4] FENG Y, ZHANG L, CAI J, et al. Analysis of

- Cnidium monnieri fruits in different regions of China[J]. Talanta, 2001, 53: 1 155-1 162.
- [5] 向仁德,张新勇,韩 英,等,中药蛇床子水提物活 性成分的研究[]]. 中草药, 1999, 30(11): 813-815.
- [6] 袁娟丽,谢金鲜. 中药蛇床子药理研究进展[]].广 西中医学院学报,2004,7(1):73-76.
- [7] POURMORTAZAVI SM, BAGHAEE P, MIRH-OSSEINI M A. Extraction of volatile compounds from Juniperus communis L. leaves with supercritical fluid carbon dioxide: comparison with hydrodistillation[J], Flavour Fragr J, 2004, 19: 417-420.
- [8] 曾志,赵富春,蒙绍金.有机质谱学在厚朴酚与 和厚朴酚结构确定中的应用[J]. 质谱学报,2006, 27(2):65-70.
- 赵富春,曾 志,刘雪英,等.没药挥发性化学成分 的研究[J]. 华南师范大学学报:自然科学版,2006 (2):69-74.
- [10] 刘江琴,庄海旗,莫丽儿,等.蛇床子香豆素的 薄层分离-直接进样-质谱鉴定[J]. 分析测试学 报,1999,18(4):26-28.
- [11] 丛浦珠. 质谱学在天然有机化学中的应用[M]. 北京:科学出版社,1987:571.